

committente



Via Lungotevere Tor di Nona, 1
00186 - Roma

EFFICIENTAMENTO ENERGETICO E MIGLIORAMENTO SISMICO DEL PATRIMONIO DELL'ATER PROVINCIA DI ROMA

Ai sensi dell'Art. 183 comma 15 D.LGS 50/16

PROGETTO DI FATTIBILITA' TECNICA ED ECONOMICA

R.T.I. Costituendo

Mandataria



FREE Energy Saving s.r.l.
via Ufente, 20 - 04100 Latina

responsabile di progetto

Ing. Giorgio Saraceno

responsabile coordinamento progetto

Arch. Maurizio Romano

Mandanti



Rogedil Servizi s.r.l.

Via Ada Negri, 66 - 00137 ROMA
Tel. 06 82002948 Fax 06 82097772
email: servizi@rogedil.com

progetto architettonico

Arch. Francesco Maria Azzopardi

LUXMASTER Engineering s.r.l.

Arch. Pietro Domenico Bertucci

progetto strutturale

Ing. Mariella Cosimi

progetto impiantistico

Arch. Francesco Maria Azzopardi



LUXMASTER +

LUXMASTER Plus s.r.l.
Piazza Della Repubblica, 24 - 20124 Milano

Comune di Carpineto Romano

Relazione tecnica - Carpineto Romano

anno	n. prog. anno	cod.ciente	categoria	sottocategoria	località	fase	n.	rev.	capitolo	tipologia
20	005	411	ATER	PRR	CAR	F	001	0	D	R
						formato	scala			
						A4	-			

data	rev	disciplina	redatto	controllato	approvato	codice
set-2020	0	generale	Pias	Azzopardi	Saraceno	-

INDICE

1. INTERVENTO STRUTTURALE	3
1.1. Tipologia CR01	4
1.1.1. Individuazione dei siti in esame.....	4
1.1.2. Determinazione della categoria di sottosuolo	4
1.1.3. Analisi sismica	7
1.1.3.1. Determinazione del fattore di comportamento q.....	7
1.1.3.2. Spettri di risposta.....	8
1.1.4. Carichi di progetto	10
1.1.4.1. Carico della neve	10
1.1.4.2. Carico del vento.....	11
1.1.5. Interventi per il miglioramento sismico – edifici in cemento armato	16
1.1.5.1. Sintesi degli interventi previsti.....	17
1.1.6. Conclusioni.....	19
1.2. Tipologia CR02.....	20
1.2.1. Individuazione dei siti in esame.....	20
1.2.2. Determinazione della categoria di sottosuolo	20
1.2.3. Analisi sismica	23
1.2.3.1. Determinazione del fattore di comportamento q.....	23
1.2.3.2. Spettri di risposta.....	24
1.2.4. Carichi di progetto	26
1.2.4.1. Carico della neve	26
1.2.4.2. Carico del vento.....	27
1.2.5. Interventi per il miglioramento sismico – edifici in cemento armato	32
1.2.5.1. Sintesi degli interventi previsti.....	33
1.2.6. Conclusioni.....	35
2. INTERVENTI DI EFFICIENTAMENTO ENERGETICO.....	36
2.1. Inquadramento	36

2.1.1.	Dati climatici	36
2.2.	Tipologia edifici.....	36
2.2.1.	Classificazione per tipologie edilizie affini	37
2.3.	Interventi di efficientamento energetico	38
2.3.1.	Interventi passivi: involucro edilizio	39
2.3.2.	Interventi attivi: impianti di riscaldamento	39

1. INTERVENTO STRUTTURALE

Per quanto riguarda il Comune di Carpineto Romano sono state individuate 2 tipologie strutturali differenti di edifici, raggruppati in funzione delle seguenti caratteristiche:

- stessa geometria in pianta ed altezza;
- stesso tipo di copertura;
- zone omogenee in prospettiva sismica (categoria topografica);
- stessa tipologia costruttiva;
- presenza del piano interrato.

Attraverso la suddivisione introdotta, nei paragrafi che seguono sono analizzati nel dettaglio in funzione della tipologia individuata, tutti gli interventi strutturali atti a garantire un miglioramento sismico dell'edificio di almeno una classe sismica.

Di seguito si riporta la tabella completa che raggruppa tutte le tipologie strutturali individuate.

CITTA'	TIPOLOGIA	INDIRIZZO
CARPINETO ROMANO	CR01	VIA PRIMA TRAVERSA ANNUNZIATA NUOVA 14/24
CARPINETO ROMANO	CR02	VIA PRIMA TRAVERSA ANNUNZIATA NUOVA 26-28

1.1. Tipologia CR01

1.1.1. Individuazione dei siti in esame

Di seguito si riporta una tabella che riassume i parametri generali del sito in esame, con gli identificativi e le coordinate dei punti che includono gli edifici.

Provincia	Comune	Tipologia	Via	Latitudine	Longitudine
Roma	Carpineto Romano	CR01	Via Prima T. Annunziata 14-16-18-20-22-24	41.3628°	13.0452°

Tabella 1. Parametri generali del sito in esame



Figura 1. Individuazione del sito in esame (immagine da google earth)

1.1.2. Determinazione della categoria di sottosuolo

Per la determinazione della categoria di sottosuolo, in assenza di indagini geologiche specifiche per ogni intervento da realizzare, è possibile stimare in via preliminare e con le approssimazioni del caso, la velocità delle onde VS facendo specifico riferimento agli abachi regionali di microzonazione sismica ai sensi della DGR Lazio n. 545 del 26 novembre 2010, forniti sul portale della Regione Lazio. Nello specifico andando ad individuare la carta delle microzone omogenee in prospettiva sismica per il comune di interesse, è possibile risalire alla tipologia del sottosuolo e relativo spessore. Dalla carta riportata in figura 2, si evidenzia che il sito oggetto del presente studio ricade all'interno delle zone stabili suscettibili di amplificazione sismica (S1) che sono caratterizzate dalla presenza di

uno strato profondo fino a 50 metri lapideo calcareo. In funzione di questo, entrando in via approssimativa nell'abaco (V_s/h) riportato in figura 2, relativo alle ghiaie alluvionali, detritiche e sabbie di alterazione, si determina il valore di V_s che viene utilizzato per la stima approssimata della categoria di sottosuolo entrando nella tabella 3.2.II del D.M. 17 Gennaio 2018.

GHIAIE ALLUVIONALI GHIAIE DETRITICHE SABBIE DI ALTERAZIONE DA ARENARIE SABBIE DI ALTERAZIONE DA TRAVERTINI SABBIE DI ALTERAZIONI DA TUFI VULCANICI										
FH _{0,1-0,5}		Velocità media V_{SH} (m/s)								
Profondità dal pc H (m)	5	180	250	300	360	400	450	500	600	700
	10	1.3	1.2	1.1	1.1	1.1	1.1	1.0	1.0	1.0
	15			1.4	1.4	1.2	1.2	1.1	1.1	1.0
	20			1.6	1.5	1.3	1.3	1.2	1.1	1.1
	25			1.7	1.6	1.4	1.3	1.2	1.1	1.1
	30			1.6	1.5	1.5	1.4	1.3	1.2	1.1
	35			1.5	1.5	1.5	1.4	1.3	1.2	1.1
	40				1.4	1.4	1.3	1.3	1.2	1.1
	45					1.4	1.3	1.3	1.2	1.1
	50						1.3	1.2	1.2	1.1

GRADIENTE DI VELOCITA' PER VALIDITA' ABACO

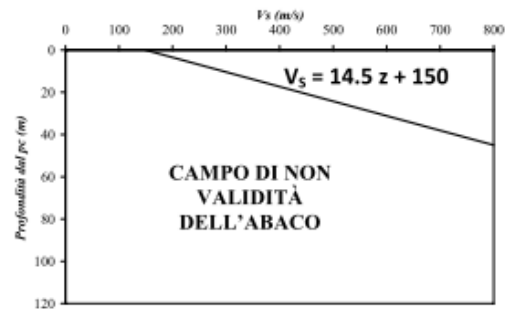


Tabella 2. Abaco per le ghiaie alluvionali, detritiche e sabbie di alterazione

Nello specifico facendo riferimento all'andamento della velocità V_s con la profondità z dello strato dal piano campagna, si ottiene un valore delle velocità V_s pari a:

$$V_s = 14.5 * z + 150 = 730 \text{ m/s}$$

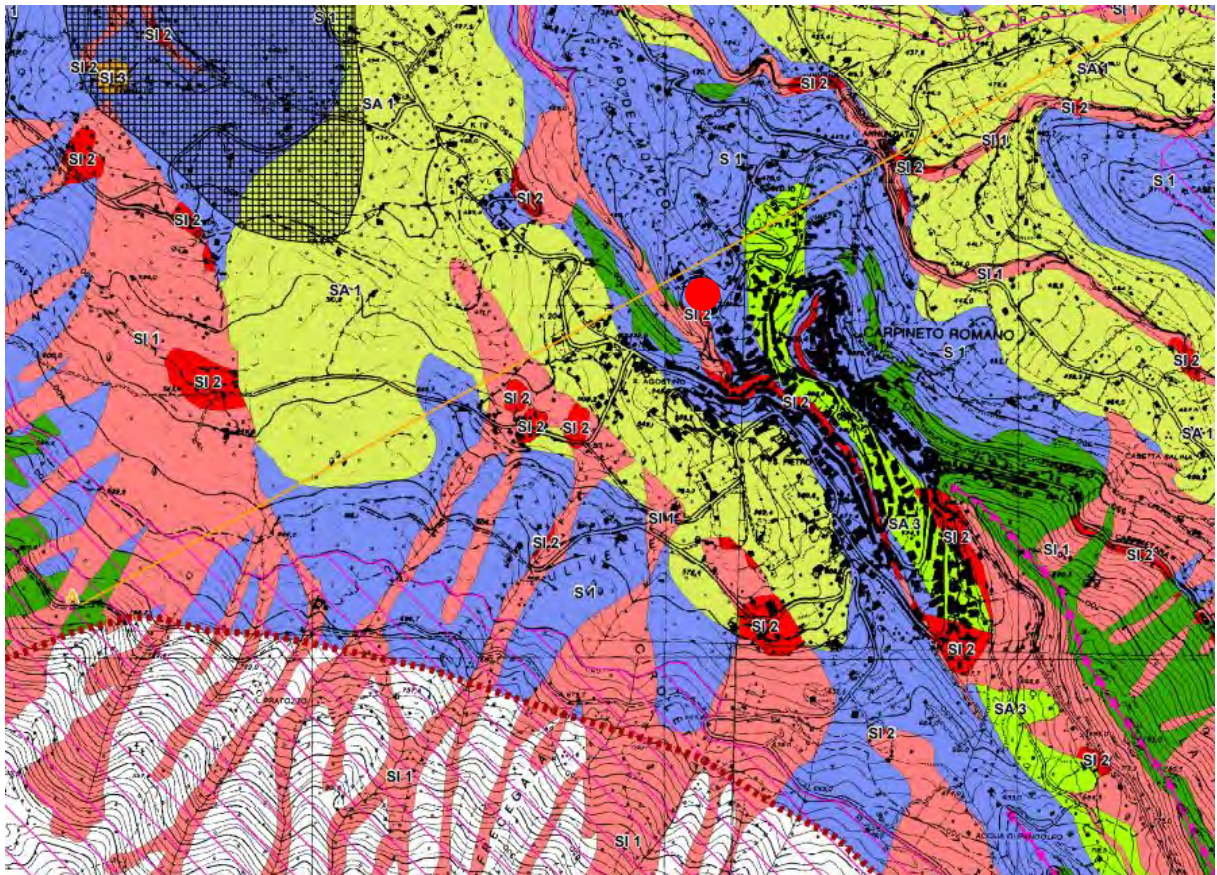


Figura 2. Zona omogenea in prospettiva sismica

<p>LEGENDA</p> <p>ZONE STABILI</p> <p>S 1</p> <p>Informazioni sul substrato</p> <p>LAPIDEO STRATIFICATO</p> <p>Substrato Rigido</p>	<p>ZONE SUSCETTIBILI DI INSTABILITA'</p> <p>S1.1 Area perimetrate a rischio A4, A3, A2a nel Piano di Assetto Idrogeologico dell'Autorità di Bacino del Fiume Liri Garigliano e Volturno e aree perimetrate in fascia B nel Piano di Assetto Idrogeologico dell'Autorità dei Bacini regionali del Lazio.</p> <p>S1.2 Area perimetrate a rischio R4, R3, R2a nel Piano di Assetto Idrogeologico dell'Autorità di Bacino del Fiume Liri Garigliano e Volturno e aree perimetrate in fascia A nel Piano di Assetto Idrogeologico dell'Autorità dei Bacini regionali del Lazio.</p> <p>S1.3 Aree con presenza di evidenti morfologie di tipo carsico, dove è alta la probabilità che si verifichino fenomeni di instabilità in occasione di eventi sismici particolarmente significativi.</p> <p>N.B. La presenza dei fenomeni carsici è stata accertata in base a quanto riportato dal testo "Grotte del Lazio" pubblicato dalla Regione Lazio, Assessorato all'Ambiente e intitolato: "I fenomeni carsici. Elementi della geodiversità".</p>	<p>FORME DEL TERRITORIO</p> <p>FORME DI SUPERFICIE AREALI</p> <p>Area soggetta a processi carsici.</p> <p>Conoidi detritici</p> <p>FORME DI SUPERFICIE AREALI</p> <p>Orlo di scarpata morfologica 10-20 metri</p> <p>Orlo di scarpata morfologica 10-20 metri</p> <p>Cresta</p>
<p>ZONE STABILI SUSCETTIBILI DI AMPLIFICAZIONI LOCALI</p> <p>SA 1 SA 2 SA 3 SA 4</p> <p>Substrato con pendenza > 30°</p>	<p>INFORMAZIONI SULLA TIPOLOGIA DEL TERRENO DI COPERTURA</p> <p>Depositi eluvio-colluviali a prevalente componente limosa e cineriti pedogenizzate. Spessore max stimato: 10 m.</p> <p>Conoidi detritici con classi calcaree eterometriche in matrice argilloso-limosa. Spessore max: 20 m.</p> <p>Masse ad elevata componente argillosa. Spessore max: 20 m.</p>	<p>SIMBOLOGIE</p> <p>Limite comunale</p> <p>Traccia di sezione</p> <p>Ambito di studio</p> <p>Aree esentate dagli studi ai sensi della DGR 545/2010, Cap. 7.</p>

Tabella 3. Legenda della carta di microzonazione sismica

In relazione alle formulazioni sopra riportate avendo ottenuto un valore delle Vs pari a 730 m/s ed entrando nella tabella 3 sotto riportata si ottiene una categoria di sottosuolo B "Depositi di terreni a grana grossa molto addensati o terreni a grana fina molto consistenti".

Per le condizioni topografiche che nel caso specifico si configurano in superficiali semplici si può adottare la classificazione riportata nella tabella 4 e nello specifico si ricade nella categoria T1.

Categoria	Descrizione
A	Ammassi rocciosi affioranti o terreni molto rigidi caratterizzati da valori di velocità delle onde di taglio superiori a 800 m/s, eventualmente comprendenti in superficie terreni di caratteristiche meccaniche più scadenti con spessore massimo pari a 3 m.
B	Rocce tenere e depositi di terreni a grana grossa molto addensati o terreni a grana fina molto consistenti, caratterizzati da un miglioramento delle proprietà meccaniche con la profondità e da valori di velocità equivalente compresi tra 360 m/s e 800 m/s.
C	Depositi di terreni a grana grossa mediamente addensati o terreni a grana fina mediamente consistenti con profondità del substrato superiori a 30 m, caratterizzati da un miglioramento delle proprietà meccaniche con la profondità e da valori di velocità equivalente compresi tra 180 m/s e 360 m/s.
D	Depositi di terreni a grana grossa scarsamente addensati o di terreni a grana fina scarsamente consistenti, con profondità del substrato superiori a 30 m, caratterizzati da un miglioramento delle proprietà meccaniche con la profondità e da valori di velocità equivalente compresi tra 100 e 180 m/s.
E	Terreni con caratteristiche e valori di velocità equivalente riconducibili a quelle definite per le categorie C o D, con profondità del substrato non superiore a 30 m.

Tabella 4. Tab. 3.2.II – Categorie di sottosuolo che permettono l'utilizzo dell'approccio semplificato

Categoria	Caratteristiche della superficie topografica
T1	Superficie pianeggiante, pendii e rilievi isolati con inclinazione media $i \leq 15^\circ$
T2	Pendii con inclinazione media $i > 15^\circ$
T3	Rilievi con larghezza in cresta molto minore che alla base e inclinazione media $15^\circ \leq i \leq 30^\circ$
T4	Rilievi con larghezza in cresta molto minore che alla base e inclinazione media $i > 30^\circ$

Tabella 5. Tab. 3.2. III – Categorie topografiche

1.1.3. Analisi sismica

1.1.3.1. Determinazione del fattore di comportamento q

Si riportano in dettaglio le caratteristiche principali della struttura in esame, utili per il calcolo del fattore di comportamento q e dell'azione sismica.

Classe d'uso	Vita nominale	Coeff. Uso	Duttilità	Regolarità in pianta	Regolarità in altezza	Tipologia strutturale
II	50	1	B	no	no	Telaio in c.a.

L'analisi strutturale per azioni sismiche utilizzata per la verifica è del tipo lineare (cap. 7.3.1 NTC 2018). Per sistemi non dissipativi (SLE), gli effetti delle azioni sono calcolati riferendosi ad uno spettro di progetto ottenuto assumendo un fattore di comportamento $q=1$ per lo stato limite di operatività (SLO) (cap. 3.2.3.4 NTC 2018) e un fattore di comportamento $q \leq 1.5$ per stato limite di danno (SLD) (cap. 3.2.3.5 NTC 2018). Per sistemi dissipativi (SLU), gli effetti delle azioni sono calcolati riferendosi ad uno spettro di progetto ottenuto assumendo un fattore di struttura $q \geq 1.5$ (cap. 3.2.3.5 NTC 2018).

Il calcolo del fattore di comportamento per i sistemi dissipativi è stato eseguito seguendo quanto riportato al capitolo 7 delle NTC 2018 in funzione dei parametri generali della struttura in esame. Si riportano, in tabella, i valori del fattore di comportamento utili per la valutazione dell'azione sismica nelle tre direzioni:

q_0	α_u/α_i	k_r	q_x	q_y	q_z
$3^* \alpha_u/\alpha_i$	1.15	0.8	2.76	2.76	1.5

L'azione sismica viene definita in relazione ad un periodo di riferimento V_r che si ricava, per ciascun tipo di costruzione, moltiplicandone la vita nominale per il coefficiente d'uso. Fissato il periodo di riferimento V_r e la probabilità di superamento P_{ver} associata a ciascuno degli stati limite considerati, si ottiene il periodo di ritorno T_r e i relativi parametri di pericolosità sismica:

- a_g : accelerazione orizzontale massima del terreno;
- F_0 : valore massimo del fattore di amplificazione dello spettro in accelerazione orizzontale;
- T_c^* : periodo di inizio del tratto a velocità costante dello spettro in accelerazione orizzontale.

SLATO LIMITE	T_R [anni]	a_g [g]	F_0 [-]	T_c^* [s]
SLO	30	0,043	2,527	0,265
SLD	50	0,052	2,552	0,281
SLV	475	0,104	2,729	0,349
SLC	975	0,128	2,722	0,367

Tabella 6. Valori di a_g , F_0 e T_c^* in funzione dei vari stati limite

1.1.3.2. Spettri di risposta

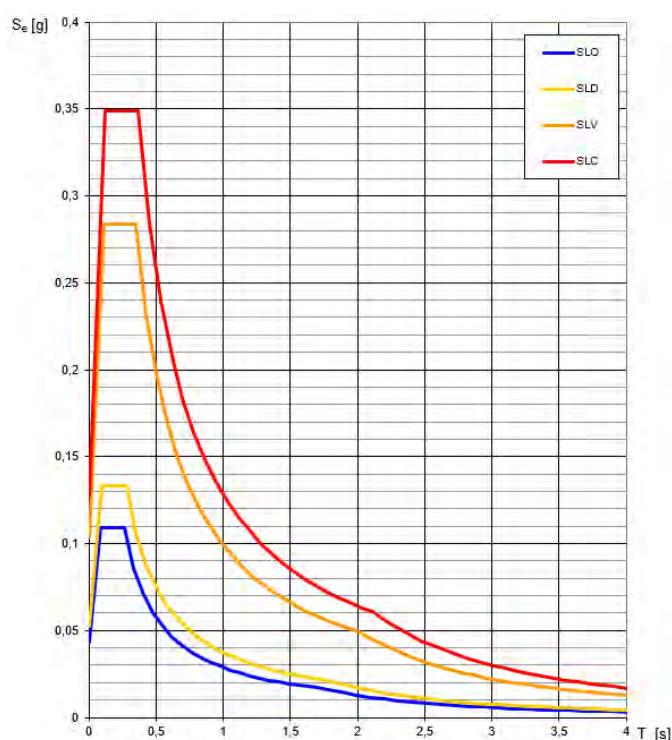


Figura 3. Spettri di risposta elastici per i diversi stati limite

Con l'utilizzo del fattore di comportamento e dei parametri sismici dipendenti dal tipo di struttura in esame, precedentemente calcolati, si sono determinati gli spettri di calcolo agli stati limite SLV e SLD. Nel caso di utilizzo di isolatori sismici si farà riferimento allo spettro ad SLV per la sovrastruttura e ad SLC per gli isolatori. Tali spettri saranno opportunamente scalati in funzione dello smorzamento e del periodo scelto.

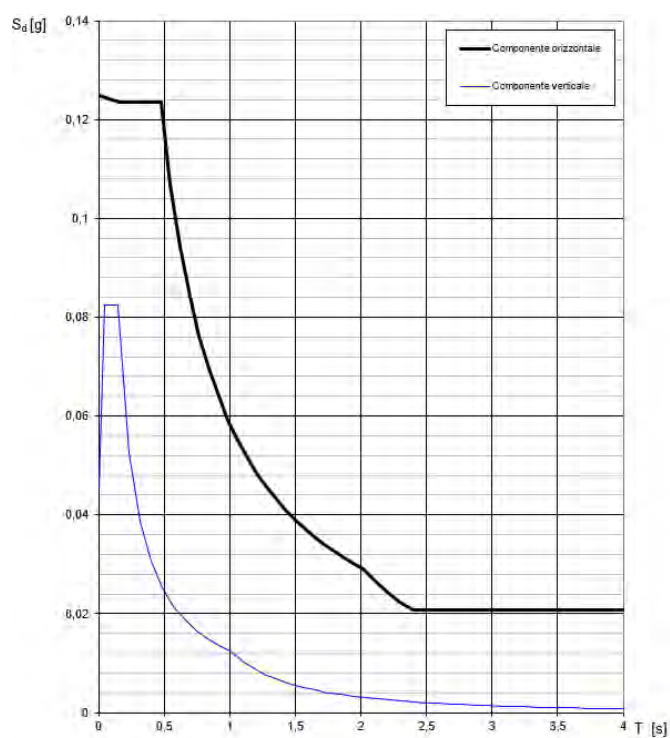


Figura 4. Spettri di risposta (componenti orizz._vert.) per lo SLV

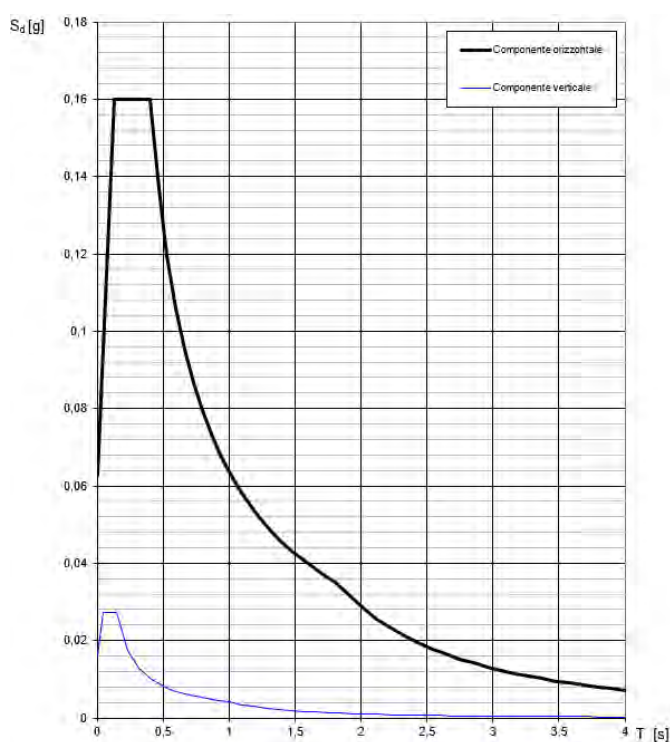


Figura 5. Spettri di risposta (componenti orizz._vert.) per lo SLD

1.1.4. Carichi di progetto

1.1.4.1. Carico della neve

Tale calcolo viene effettuato ai sensi di DM del 17 Gennaio 2018 "Norme tecniche per le costruzioni" e della Circolare Ministeriale Applicativa del 21 Gennaio 2019. Il carico neve sulle coperture è valutato con la seguente espressione:

$$q_s = \mu_i * q_{sk} * C_e *$$

dove:

- μ_i è il coefficiente di forma della copertura;

Coefficiente di forma	$0^\circ \leq \alpha \leq 30^\circ$	$30^\circ < \alpha < 60^\circ$	$\alpha \geq 60^\circ$
μ_1	0,8	$0,8 \cdot \frac{(60 - \alpha)}{30}$	0,0

Tabella 7. Tab. 3.4.II – Valori dei coefficienti di forma

- q_{sk} è il valore di riferimento del carico neve al suolo e dipende dalla zona climatica e dall'altitudine di riferimento del sito a_s , se è maggiore o inferiore a 200 m;

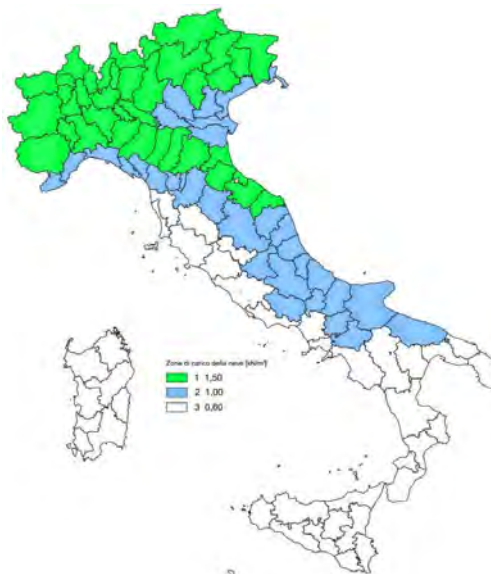


Figura 6. Zone di carico della neve

- C_e è il coefficiente di esposizione che viene utilizzato per modificare il carico neve in funzione delle caratteristiche dell'area in cui sorge l'opera;

Topografia	Descrizione	C_e
Battuta dai venti	Aree pianeggianti non ostruite esposte su tutti i lati, senza costruzioni o alberi più alti	0,9
Normale	Aree in cui non è presente una significativa rimozione di neve sulla costruzione prodotta dal vento, a causa del terreno, altre costruzioni o alberi	1,0
Riparata	Aree in cui la costruzione considerata è sensibilmente più bassa del circostante terreno o circondata da costruzioni o alberi più alti	1,1

Tabella 8. Tab. 3.4.I – Valori di C_z per diverse classi di esposizione

- C_t è il coefficiente termico, generalmente assunto pari a 1;

Si assume che la neve non sia impedita di scivolare e si calcola il valore del carico neve in copertura:

Zona	as (m)	qsk (daN/m ²)	μi	Ce	Ct	qs (daN/m ²)
III	505	107	0,8	1	1	86

Tabella 9. Determinazione del carico da neve in copertura

1.1.4.2. Carico del vento

La velocità base di riferimento del vento v_b è il valore medio su 10 minuti, a 10 m di altezza sul suolo su un terreno pianeggiante e omogeneo di categoria di esposizione II, riferito ad un periodo di ritorno $T_r = 50$ anni, ed è pari a:

$$v_b = v_{b0} * c_a$$

dove:

- v_{b0} è la velocità base di riferimento al livello del mare, assegnata nella Tab.3.3.I in funzione della zona in cui sorge la costruzione;
- c_a è il coefficiente di altitudine fornito dalla relazione

$$c_a = 1 \quad \text{per } a_s \leq a_0$$

$$c_a = 1 + k_s * (a_s/a_0 - 1) \quad \text{per } a_0 < a_s \leq 1500 \text{ m}$$

dove:

- a_0, k_s sono parametri forniti nella Tab.3.3.I in funzione della zona in cui sorge la costruzione;
- a_s è l'altitudine sul livello del mare del sito ove sorge la costruzione.

Zona	Descrizione	v_{b0} [m/s]	a_0 [m]	k_s
1	Valle d'Aosta, Piemonte, Lombardia, Trentino Alto Adige, Veneto, Friuli Venezia Giulia (con l'eccezione della provincia di Trieste)	25	1000	0,40
2	Emilia Romagna	25	750	0,45
3	Toscana, Marche, Umbria, Lazio, Abruzzo, Molise, Puglia, Campania, Basilicata, Calabria (esclusa la provincia di Reggio Calabria)	27	500	0,37
4	Sicilia e provincia di Reggio Calabria	28	500	0,36
5	Sardegna (zona a oriente della retta congiungente Capo Teulada con l'Isola di Maddalena)	28	750	0,40
6	Sardegna (zona a occidente della retta congiungente Capo Teulada con l'Isola di Maddalena)	28	500	0,36
7	Liguria	28	1000	0,54
8	Provincia di Trieste	30	1500	0,50
9	Isole (con l'eccezione di Sicilia e Sardegna) e mare aperto	31	500	0,32



Figura 7. Valori dei parametri v_{b0} , a_0 , k_s

Figura 8. Mappa delle zone in cui è suddiviso il territorio italiano

La velocità di riferimento v_r è il valore medio su 10 minuti, a 10 m di altezza dal suolo su un terreno pianeggiante e omogeneo di categoria di esposizione II, riferito al periodo di ritorno di progetto T_r .

$$v_r = v_b * c_r$$

- v_b è la velocità base di riferimento al livello del mare, assegnata

- c_r è il coefficiente di ritorno, funzione del periodo di ritorno di progetto T_r fornito dalla relazione

$$c_r = 0.75 * \sqrt{1 - 0.2 * \ln[-\ln * (1 - 1/T_r)]}$$

Quindi:

v_{b0} (m/s)	a_s	c_a	v_b	T_r	c_r	v_r (m/s)
27	505	1.003	27.10	50	1,0007	27.12

La pressione del vento è data dall'espressione:

$$p = q_r * c_e * c_p * c_d$$

dove:

- q_r è la pressione cinetica di riferimento data dall'espressione

$$q_r = \frac{1}{2} * \rho * v_r^2 \quad \text{in cui } \rho \text{ è la densità dell'aria pari a } 1.25 \text{ kg/m}^3$$

- c_e è il coefficiente di esposizione che dipende dall'altezza z sul suolo del punto considerato, dalla topografia del terreno e dalla categoria di esposizione del sito ove sorge la costruzione. Per altezze sul suolo non maggiori di 200 m è dato dalla formula:

$$c_e(z) = k_r^2 * c_t * \ln(z/z_0) * [7 + c_t * \ln(z/z_0)] \quad \text{per } z \geq z_{min}$$

$$c_e(z) = c_e(z_{min}) \quad \text{per } z < z_{min}$$

dove:

- k_r , z_0 , z_{min} sono assegnati in Tab.3.3.II in funzione della categoria di esposizione del sito.
- c_t è il coefficiente di topografia, posto generalmente uguale a 1.

Categoria di esposizione del sito	k_r	z_0 [m]	z_{min} [m]
I	0,17	0,01	2
II	0,19	0,05	4
III	0,20	0,10	5
IV	0,22	0,30	8
V	0,23	0,70	12

Tabella 10. Parametri per la definizione del coefficiente di esposizione

Classe di rugosità del terreno	Descrizione
A	Aree urbane in cui almeno il 15% della superficie sia coperto da edifici la cui altezza media non superi i 15 m
B	Aree urbane (non di classe A), suburbane, industriali e boschive
C	Aree con ostacoli diffusi (alberi, case, muri, recinzioni...); aree con rugosità non riconducibile alle classi A, B, e D
D	a) Mare e relativa fascia costiera (entro 2 km dalla costa); b) Lago (con larghezza massima pari ad almeno 1 km) e relativa fascia costiera (entro 1 km dalla costa); c) Aree prive di ostacoli o con al più rari ostacoli isolati (aperta campagna, aeroporti, aree agricole, pascoli, zone paludose o sabbiose, superfici innevate o ghiacciate, ...)

Tabella 11. Classi di rugosità del terreno

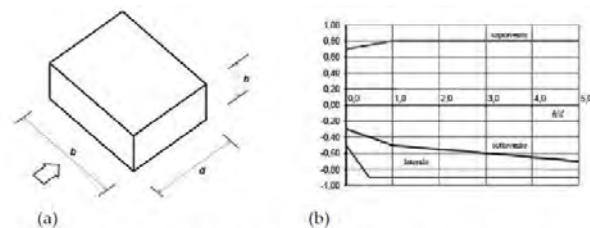
ZONE 1,2,3,4,5						
	2 km	10 km	30 km	500m	750m	
A	--	IV	IV	V	V	V
B	--	III	III	IV	IV	IV
C	--	*	III	III	IV	IV
D	I	II	II	II	III	**
* Categoria II in zona 1,2,3,4 Categoria III in zona 5						
** Categoria III in zona 2,3,4,5 Categoria IV in zona 1						

Tabella 12. Definizione delle categorie di esposizione

q_r	Rugosità	Esposizione	$c_e(z)$	$c_e(z_{min})$
456	B	IV	2,414	1,634

Tabella 13. Definizione dei coefficienti di esposizione

● c_p è il coefficiente di pressione e dipende dalla tipologia, dalla geometria della costruzione e dal suo orientamento rispetto alla direzione del vento. Il coefficiente globale c_{pe} che può essere utilizzato in tutti i casi in cui la rappresentazione delle azioni aereodinamiche del vento possa essere effettuata in maniera semplificata, rivolta alla valutazione delle azioni globali su porzioni estese di costruzioni o delle risultanti delle azioni indotte dal vento sugli elementi principali della struttura. I coefficienti c_{pe} da assumere sulle pareti dell'edificio a pianta rettangolare sono diagrammati in base al rapporto h/d , avendo indicato con h l'altezza del manufatto e con d la profondità dell'edificio, valutata parallelamente al flusso di lavoro:



a) Parametri caratteristici di edifici a pianta rettangolare,
b) Edifici a pianta rettangolare: c_{pe} per facce sopravvento, sottovento e laterali

Figura C3.3.2

Tabella C3.3.I. Edifici a pianta rettangolare: c_{pe} per facce sopravvento, sottovento e laterali

Faccia sopravvento	$C_U = 2,0$	$C_U = 1,5$
$h/d \leq 1$: $c_{pe} = 0,7 + 0,1 \cdot h/d$	$h/d \leq 0,5$: $c_{pe} = -0,5 - 0,8 \cdot h/d$	$h/d \leq 1$: $c_{pe} = -0,3 - 0,2 \cdot h/d$
$h/d > 1$: $c_{pe} = 0,8$	$h/d > 0,5$: $c_{pe} = -0,9$	$1 < h/d \leq 5$: $c_{pe} = -0,5 - 0,05 \cdot (h/d - 1)$

Tabella 14. Coefficienti di pressione delle facciate secondo NTC2018

Quindi i coefficienti per le facce sopravvento e sottovento sono:

b	d	h	h/d	C_{pe} -sopravvento	C_{pe} -sottovento
102	16.7	15.2	0.91	0.79	-0,50

Tabella 15. Definizione dei coefficienti di pressione

COPERTURA A DOPPIA FALDA

Per le coperture a doppia falda, i coefficienti globali da assumere, nel caso di vento perpendicolare alla direzione del colmo, sono quelli per le coperture a falda singola.

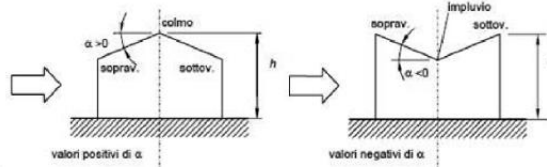


Figura 9. Schema di riferimento per coperture a doppia falda

Valori negativi		Valori positivi	
$\alpha \leq -60^\circ$	$c_{pe} = -0,5$	$0^\circ \leq \alpha \leq 45^\circ$	$c_{pe} = +\alpha/75$
$-60^\circ \leq \alpha \leq -15^\circ$	$c_{pe} = -0,5 - (\alpha+60)/90$	$45^\circ \leq \alpha \leq 75^\circ$	$c_{pe} = +0,6 + (\alpha-45)/150$
$-15^\circ \leq \alpha \leq 30^\circ$	$c_{pe} = -1,0 + (\alpha+15)/75$		
$30^\circ \leq \alpha \leq 45^\circ$	$c_{pe} = -0,4 + (\alpha-30)/37,5$		

Tabella 16. Coperture a doppia falda, valori del c_{pe} con vento perpendicolare al colmo

Per la falda sottovento si fa riferimento ai valori riportati di seguito:

$-75^\circ \leq \alpha \leq -15^\circ$	$c_{pe} = -0,85 + (\alpha+60)/180$
$-15^\circ \leq \alpha \leq 15^\circ$	$c_{pe} = -0,6$
$15^\circ \leq \alpha \leq 45^\circ$	$c_{pe} = -0,6 + (\alpha-15)/100$
$45^\circ \leq \alpha$	$c_{pe} = -0,3$

Tabella 17. Coperture a doppia falda, valori del c_{pe} con vento perpendicolare al colmo

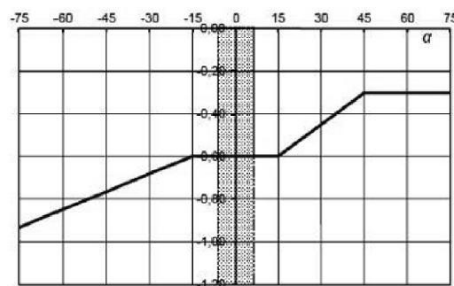


Tabella 18. Coperture a doppia falda, grafico del c_{pe} con vento perpendicolare al colmo

Le pressioni interne agli edifici dipendono dalla superficie delle aperture che questi presentano verso l'esterno. Nel caso in esame si assumono valori del coefficiente di pressione interno pari a $c_{pi} = +0,2$ e $c_{pi} = -0,30$, considerando il caso che di volta in volta conduce alla situazione maggiormente gravosa.

- c_d è il coefficiente dinamico e può essere assunto cautelativamente pari a 1 nelle costruzioni di tipologia ricorrente quali gli edifici di forma regolare non eccedenti 80 m in altezza e capannoni industriali.

In funzione dei coefficienti analizzati e della pressione cinetica di riferimento, si calcola la pressione del vento per la copertura e per le facciate sopravento e sottovento considerando i valori massimi e minimi.

Facciata	Sopravento	Sottovento
p_{\min} (daN/m ²)	451	-598
p_{\max} (daN/m ²)	572	-759
Copertura	Sopravento	Sottovento
p (daN/m ²)	-668	-668

1.1.5. Interventi per il miglioramento sismico – edifici in cemento armato

Gli interventi previsti per la riduzione del rischio sismico si dividono in:

- interventi che consentono il passaggio di una sola Classe di Rischio;
- interventi che possono consentire il passaggio fino a due Classi di Rischio.
- interventi che possono consentire il miglioramento di almeno due Classi di Rischio o l'adeguamento sismico.

La prima tipologia di interventi considerati è quella contenuta nelle “Linee guida per la classificazione del rischio sismico delle costruzioni” (D.M. 65/2017-allegato A). Per gli edifici in cemento armato, se la struttura è stata originariamente concepita con la presenza di telai in entrambe le direzioni, è prevista la possibilità di ritenere valido il passaggio alla Classe di Rischio immediatamente superiore se vengono effettuati gli interventi seguenti:

- incamiciatura dei pilastri e dei nodi pilastro-trave per tutte le pilastrate e le travi disposte lungo il perimetro dell'edificio;
- opere volte a scongiurare il ribaltamento delle tamponature, compiute su tutte le tamponature perimetrali presenti sulle facciate;
- eventuali opere di ripristino delle zone danneggiate e/o degradate.

La seconda tipologia di interventi considerati riguarda l'utilizzo di:

- isolamento sismico in fondazione.

Questa tipologia di interventi, viene presa in considerazione nel caso in cui le lavorazioni vengono eseguite senza dover in alcun modo evacuare gli inquilini dell'edificio, quindi quando per esempio:

- è presente un piano interrato dove sono presenti garage;
- è presente un piano terra dove sono presenti negozi;
- è presente un piano pilotis dove sono presenti cantine.

Nel caso si adotti l'intervento di isolamento sismico in fondazione bisogna fare una differenza in funzione della presenza o meno di un piano interrato.

Nel caso in cui **fosse presente il piano interrato** (adibito a garage o cantine), l'intervento di isolamento sismico alla base prevede di tagliare il pilastro del piano interrato all'altezza delle travi del piano terra inserendo l'isolatore sismico opportunamente dimensionato e ringrossando ove necessario il nodo trave pilastro. Risulta inoltre indispensabile creare una trincea perimetrale esterna che consenta all'edificio gli spostamenti generati dall'azione sismica.

Nel caso in cui **non fosse presente un piano interrato**, ma ad esempio un piano pilotis con cantine, l'intervento prevede di creare un piano di scorrimento che può essere realizzato in funzione delle opportunità e delle esigenze o all'attacco tra fondazione e pilastri oppure direttamente sopra la soletta del piano terra. Il piano di scorrimento viene creato attraverso un reticolo di travi in acciaio collegate ad ogni pilastro sopra le quali viene posata una lamiera grecata con successivo

getto di soletta armata con rete. La soluzione ad unico piano di scorrimento anche per edifici estesi con giunti sismici risulta essere ampiamente perseguibile.

Sotto ogni pilastro e sotto il piano di scorrimento viene predisposto un opportuno isolatore sismico (ad esempio friction pendulum). Anche in questo caso come nel precedente risulta indispensabile creare una trincea perimetrale che possa garantire gli spostamenti attesi dovuti all'azione sismica.

In tutti i casi citati, si tratta di interventi la cui progettazione richiede informazioni dettagliate sulla geometria e sulle caratteristiche meccaniche degli elementi resistenti allo stato attuale e la cui efficacia può essere valutata solo con analisi strutturali condotte per mezzo di adeguati modelli di calcolo. In questa fase ci si limiterà, pertanto, ad una descrizione sommaria degli interventi e ad una valutazione di massima del costo.

La terza tipologia di interventi considerati riguarda l'utilizzo di:

- cappotto sismico applicato alle pareti esterne dell'edificio;
- sistema a torri dissipative sismo-resistenti.

Questa tipologia di interventi, viene presa in considerazione nel caso in cui le lavorazioni vengono eseguite senza dover in alcun modo evacuare gli inquilini dell'edificio, e nel caso del cappotto sismico quando la struttura risulta regolare in pianta e in altezza.

Il primo caso può essere applicato indifferentemente sia per strutture in muratura che per le strutture in cemento armato. Il secondo caso invece viene impiegato esclusivamente quando la struttura esistente sia stata realizzata in cemento armato.

Per gli edifici in cemento armato, nel caso di struttura a telai in entrambe le direzioni, è prevista la possibilità di ritenere valido il passaggio di più Classi di Rischio con la possibilità di raggiungere l'adeguamento sismico a seconda della tipologia di struttura.

1.1.5.1. Sintesi degli interventi previsti

TORRI DISSIPATIVE SISMO-RESISTENTI

Il sistema a torri dissipative sismo-resistenti consiste nella realizzazione di torri molto rigide, solitamente in carpenteria metallica, collegate rigidamente alla struttura a livello di solaio ed incernierate alla base, equipaggiate lungo il perimetro della base con dissipatori di energia che si attivano a seguito della rotazione della torre indotta dagli spostamenti orizzontali della struttura. Tale sistema è nato proprio per rispondere alle esigenze di adeguare complessi edilizi di pubblica, eliminando i costi ed i disagi connessi all'interruzione ed al trasferimento delle attività in altre sedi, richiesti dai tradizionali sistemi di adeguamento sismico. La volumetria delle torri va inoltre ad aggiungersi a quella esistente e, quando possibile, può essere sfruttata per la realizzazione di scale, ascensori, cavedi per il passaggio degli impianti o nuovi spazi utilizzabili, consentendo la rivalutazione del patrimonio. Il sistema a torri dissipative consente di sfruttare al massimo la

capacità dei dispositivi di dissipazione; infatti grazie alla loro collocazione alla base delle torri, i dissipatori non lavorano in funzione degli spostamenti relativi d'interpiano, come in un classico sistema a controventi dissipativi posti all'interno delle maglie dei telai, bensì in funzione dello spostamento assoluto che si manifesta all'ultima elevazione

L'efficienza del sistema proposto è garantita non solo dalla rigidità delle torri, ma anche dal manovellismo utilizzato alla base delle torri per il collegamento delle stesse ai dissipatori.

Il sistema meccanico di manovellismo introdotto alla base di ogni torre ha la funzione di amplificare gli spostamenti, così da ottenere un miglioramento generalizzato dell'efficienza dell'intervento con torri dissipative. A parità di spostamento in sommità, con il sistema di manovellismo si ottiene uno spostamento sul dispositivo di gran lunga superiore a quello ottenuto in assenza di manovellismo. I dispositivi sono attivi sia a trazione che a compressione.

L'efficacia dell'intervento è garantita dalla notevole dissipazione di energia fornita dalle nuove torri dissipative a cui consegue una sensibile riduzione della domanda negli elementi strutturali.

L'organizzazione planimetrica dei dispositivi è studiata in modo da garantire la massima efficienza al sistema. Per ottenere il massimo valore di spostamento i dissipatori vengono disposti in senso radiale sul perimetro esterno della torre, in modo da risultare efficaci per ogni movimento oscillatorio della torre. Il ricentrimento del sistema torre-edificio è garantito dalla forza di richiamo che l'edificio esistente può trasmettere grazie all'energia potenziale elastica immagazzinata.

L'applicazione del sistema a torri dissipative sismo-resistenti presenta numerosi vantaggi rispetto alle tecniche convenzionali di adeguamento sismico, quali:

- incremento sostanziale della capacità delle strutture esistenti nei confronti delle azioni sismiche, che si traduce in un notevole abbattimento sia degli spostamenti che delle accelerazioni, preservando così non solo la struttura, ma anche i componenti non strutturali (murature, infissi, controsoffitti, impianti, ecc..) e le attrezzature, sensibili sia agli spostamenti che alle accelerazioni;
- contenimento degli spostamenti orizzontali fino a pervenire a soluzioni strutturali in grado di fronteggiare i terremoti previsti dalle norme allo stato limite di salvaguardia della vita (SLV) mantenendo la struttura in campo elastico e quindi senza importanti danneggiamenti ed interruzioni d'uso;
- la disposizione ottimale delle torri in pianta consente di regolarizzare il comportamento delle strutture in situazione sismica;
- la creazione alla base di ciascuna torre, di una zona completamente dedicata alla dissipazione di energia, permette di massimizzare l'efficienza dei dispositivi (nello specifico di tipo viscoso), nonché la loro facile ispezione e manutenzione, rispetto alle consuete applicazioni all'interno delle maglie strutturali di edifici esistenti;

- la piena rispondenza ai criteri di reversibilità dell'intervento, poiché intervenendo in esterno è possibile rimuovere le torri senza interferire con le strutture esistenti.

1.1.6. Conclusioni

L'applicazione del sistema innovativo di protezione sismica detto a "Torri Dissipative" dimostra di essere una valida e conveniente alternativa ai sistemi più tradizionali che sfruttano la dissipazione di energia per la riduzione della domanda. È particolarmente conveniente in quegli edifici con struttura a telaio in c.a. dotati di una sufficiente capacità statica per carichi verticali ma vulnerabili alle azioni orizzontali e che, trovandosi in buone condizioni di agibilità, non necessitano di pesanti interventi di rifunzionalizzazione ed ammodernamento. L'efficienza del sistema è notevole. Ottenendo riduzioni significative della domanda, la calibrazione dimensionale e dissipativa delle torri è tale da raggiungere livelli di protezione sismica superiori ai limiti stabiliti dalle norme per l'adeguamento, con l'obiettivo di mantenere la struttura in campo elastico anche per terremoti severi allo SLV.

Inoltre, molto importante, è il notevole vantaggio economico. Oltre ai minori costi diretti, operando dall'esterno sono quasi o completamente nulli i costi indiretti, l'esecuzione dei lavori avviene senza l'interruzione delle attività.

1.2. Tipologia CR02

1.2.1. Individuazione dei siti in esame

Di seguito si riporta una tabella che riassume i parametri generali del sito in esame, con gli identificativi e le coordinate dei punti che includono gli edifici.

Provincia	Comune	Tipologia	Via	Latitudine	Longitudine
Roma	Carpineto Romano	CR02	Via Prima T. Annunziata 26-28	41.3628°	13.0452°

Tabella 19. Parametri generali del sito in esame



Figura 10. Individuazione del sito in esame (immagine da google earth)

1.2.2. Determinazione della categoria di sottosuolo

Per la determinazione della categoria di sottosuolo, in assenza di indagini geologiche specifiche per ogni intervento da realizzare, è possibile stimare in via preliminare e con le approssimazioni del caso, la velocità delle onde VS facendo specifico riferimento agli abachi regionali di microzonazione sismica ai sensi della DGR Lazio n. 545 del 26 novembre 2010, forniti sul portale della Regione Lazio. Nello specifico andando ad individuare la carta delle microzone omogenee in prospettiva sismica per il comune di interesse, è possibile risalire alla tipologia del sottosuolo e relativo spessore. Dalla carta riportata in figura 2, si evidenzia che il sito oggetto del presente studio ricade all'interno delle zone stabili suscettibili di amplificazione sismica (S1) che sono caratterizzate dalla presenza di

uno strato profondo fino a 50 metri lapideo calcareo. In funzione di questo, entrando in via approssimativa nell'abaco (V_s/h) riportato in figura 2, relativo alle ghiaie alluvionali, detritiche e sabbie di alterazione, si determina il valore di V_s che viene utilizzato per la stima approssimata della categoria di sottosuolo entrando nella tabella 3.2.II del D.M. 17 Gennaio 2018.

GHIAIE ALLUVIONALI GHIAIE DETRITICHE SABBIE DI ALTERAZIONE DA ARENARIE SABBIE DI ALTERAZIONE DA TRAVERTINI SABBIE DI ALTERAZIONI DA TUFI VULCANICI										
FH _{0,1-0,5}		Velocità media V_{SH} (m/s)								
Profondità dal pc H (m)	5	180	250	300	360	400	450	500	600	700
	10	1.3	1.2	1.1	1.1	1.1	1.1	1.0	1.0	1.0
	15			1.4	1.4	1.2	1.2	1.1	1.1	1.0
	20			1.6	1.5	1.3	1.3	1.2	1.1	1.1
	25			1.7	1.6	1.4	1.3	1.2	1.1	1.1
	30			1.6	1.5	1.5	1.4	1.3	1.2	1.1
	35			1.5	1.5	1.5	1.4	1.3	1.2	1.1
	40				1.4	1.4	1.3	1.3	1.2	1.1
	45					1.4	1.3	1.3	1.2	1.1
	50						1.3	1.2	1.2	1.1

GRADIENTE DI VELOCITA' PER VALIDITA' ABACO

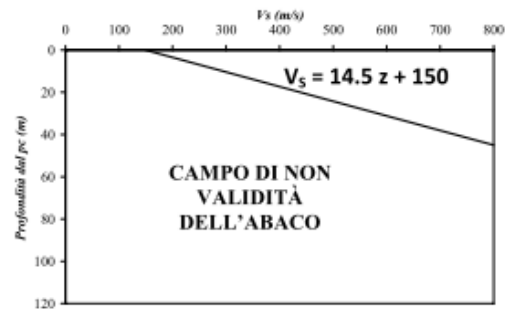


Tabella 20. Abaco per le ghiaie alluvionali, detritiche e sabbie di alterazione

Nello specifico facendo riferimento all'andamento della velocità V_s con la profondità z dello strato dal piano campagna, si ottiene un valore delle velocità V_s pari a:

$$V_s = 14.5 * z + 150 = 730 \text{ m/s}$$

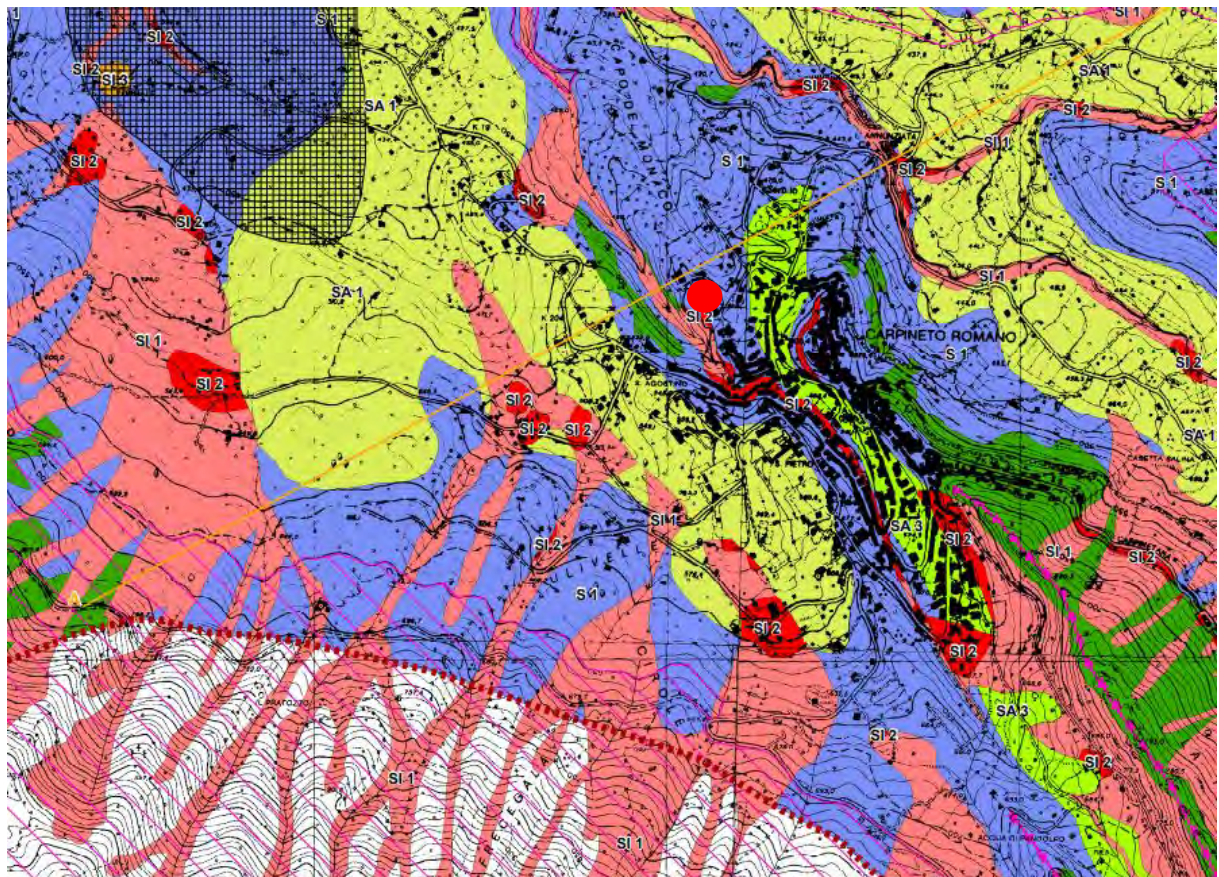


Figura 11. Zona omogenea in prospettiva sismica

<p>LEGENDA</p> <p>ZONE STABILI</p> <p>S 1</p> <p>Informazioni sul substrato</p> <p>LAPIDEO CALCAREO</p> <p>STRATIFICATO</p> <p>Substrato Rigido</p>	<p>ZONE SUSCETTIBILI DI INSTABILITA'</p> <p>S1.1 Area perimetrate a rischio A4, A3, A2a nel Piano di Assetto Idrogeologico dell'Autorità di Bacino dei Fiumi Liri Garigliano e Volturno e aree perimetrate in fascia B nel Piano di Assetto Idrogeologico dell'Autorità dei Bacini regionali del Lazio.</p> <p>S1.2 Area perimetrate a rischio R4, R3, R2a nel Piano di Assetto Idrogeologico dell'Autorità di Bacino dei Fiumi Liri Garigliano e Volturno e aree perimetrate in fascia A nel Piano di Assetto Idrogeologico dell'Autorità dei Bacini regionali del Lazio.</p> <p>S1.3 Aree con presenza di evidenti morfologie di tipo carsico, dove è alta la probabilità che si verifichino fenomeni di instabilità in occasione di eventi sismici particolarmente significativi.</p> <p>N.B. La presenza dei fenomeni carsici è stata accertata in base a quanto riportato dal testo "Grotte del Lazio" pubblicato dalla Regione Lazio, Assessorato all'Ambiente e intitolato: "I fenomeni carsici. Elementi della geodiversità".</p>	<p>FORME DEL TERRITORIO</p> <p>FORME DI SUPERFICIE AREALI</p> <p>Area soggetta a processi carsici.</p> <p>Conoidi detritici</p> <p>FORME DI SUPERFICIE AREALI</p> <p>Orlo di scarpata morfologica 10-20 metri</p> <p>Orlo di scarpata morfologica 10-20 metri</p> <p>Cresta</p>
<p>ZONE STABILI SUSCETTIBILI DI AMPLIFICAZIONI LOCALI</p> <p>SA 1 SA 2 SA 3 SA 4</p> <p>Substrato con pendenza > 30°</p>	<p>INFORMAZIONI SULLA TIPOLOGIA DEL TERRENO DI COPERTURA</p> <p>Depositi eluvio-colluviali a prevalente componente limosa e cineriti pedogenizzate. Spessore max stimato: 10 m.</p> <p>Conoidi detritici con classi calcaree eterometriche in matrice argilloso-limosa. Spessore max: 20 m.</p> <p>Masse ad elevata componente argillosa. Spessore max: 20 m.</p>	<p>SIMBOLOGIE</p> <p>Limite comunale</p> <p>Traccia di sezione</p> <p>Ambito di studio</p> <p>Aree esentate dagli studi ai sensi della DGR 545/2010, Cap. 7.</p>

Tabella 21. Legenda della carta di microzonazione sismica

In relazione alle formulazioni sopra riportate avendo ottenuto un valore delle Vs pari a 730 m/s ed entrando nella tabella 3 sotto riportata si ottiene una categoria di sottosuolo B "Depositi di terreni a grana grossa molto addensati o terreni a grana fina molto consistenti".

Per le condizioni topografiche che nel caso specifico si configurano in superficiali semplici si può adottare la classificazione riportata nella tabella 4 e nello specifico si ricade nella categoria T1.

Categoria	Descrizione
A	Ammassi rocciosi affioranti o terreni molto rigidi caratterizzati da valori di velocità delle onde di taglio superiori a 800 m/s, eventualmente comprendenti in superficie terreni di caratteristiche meccaniche più scadenti con spessore massimo pari a 3 m.
B	Rocce tenere e depositi di terreni a grana grossa molto addensati o terreni a grana fina molto consistenti, caratterizzati da un miglioramento delle proprietà meccaniche con la profondità e da valori di velocità equivalente compresi tra 360 m/s e 800 m/s.
C	Depositi di terreni a grana grossa mediamente addensati o terreni a grana fina mediamente consistenti con profondità del substrato superiori a 30 m, caratterizzati da un miglioramento delle proprietà meccaniche con la profondità e da valori di velocità equivalente compresi tra 180 m/s e 360 m/s.
D	Depositi di terreni a grana grossa scarsamente addensati o di terreni a grana fina scarsamente consistenti, con profondità del substrato superiori a 30 m, caratterizzati da un miglioramento delle proprietà meccaniche con la profondità e da valori di velocità equivalente compresi tra 100 e 180 m/s.
E	Terreni con caratteristiche e valori di velocità equivalente riconducibili a quelle definite per le categorie C o D, con profondità del substrato non superiore a 30 m.

Tabella 22. Tab. 3.2.II – Categorie di sottosuolo che permettono l'utilizzo dell'approccio semplificato

Categoria	Caratteristiche della superficie topografica
T1	Superficie pianeggiante, pendii e rilievi isolati con inclinazione media $i \leq 15^\circ$
T2	Pendii con inclinazione media $i > 15^\circ$
T3	Rilievi con larghezza in cresta molto minore che alla base e inclinazione media $15^\circ \leq i \leq 30^\circ$
T4	Rilievi con larghezza in cresta molto minore che alla base e inclinazione media $i > 30^\circ$

Tabella 23. Tab. 3.2. III – Categorie topografiche

1.2.3. Analisi sismica

1.2.3.1. Determinazione del fattore di comportamento q

Si riportano in dettaglio le caratteristiche principali della struttura in esame, utili per il calcolo del fattore di comportamento q e dell'azione sismica.

Classe d'uso	Vita nominale	Coeff. Uso	Duttilità	Regolarità in pianta	Regolarità in altezza	Tipologia strutturale
II	50	1	B	no	no	Telaio in c.a.

L'analisi strutturale per azioni sismiche utilizzata per la verifica è del tipo lineare (cap. 7.3.1 NTC 2018). Per sistemi non dissipativi (SLE), gli effetti delle azioni sono calcolati riferendosi ad uno spettro di progetto ottenuto assumendo un fattore di comportamento $q=1$ per lo stato limite di operatività (SLO) (cap. 3.2.3.4 NTC 2018) e un fattore di comportamento $q \leq 1.5$ per stato limite di danno (SLD) (cap. 3.2.3.5 NTC 2018). Per sistemi dissipativi (SLU), gli effetti delle azioni sono calcolati riferendosi ad uno spettro di progetto ottenuto assumendo un fattore di struttura $q \geq 1.5$ (cap. 3.2.3.5 NTC 2018).

Il calcolo del fattore di comportamento per i sistemi dissipativi è stato eseguito seguendo quanto riportato al capitolo 7 delle NTC 2018 in funzione dei parametri generali della struttura in esame. Si riportano, in tabella, i valori del fattore di comportamento utili per la valutazione dell'azione sismica nelle tre direzioni:

q_0	α_u/α_i	k_r	q_x	q_y	q_z
$3^* \alpha_u/\alpha_i$	1.15	0.8	2.76	2.76	1.5

L'azione sismica viene definita in relazione ad un periodo di riferimento V_r che si ricava, per ciascun tipo di costruzione, moltiplicandone la vita nominale per il coefficiente d'uso. Fissato il periodo di riferimento V_r e la probabilità di superamento P_{ver} associata a ciascuno degli stati limite considerati, si ottiene il periodo di ritorno T_r e i relativi parametri di pericolosità sismica:

- a_g : accelerazione orizzontale massima del terreno;
- F_0 : valore massimo del fattore di amplificazione dello spettro in accelerazione orizzontale;
- T_c^* : periodo di inizio del tratto a velocità costante dello spettro in accelerazione orizzontale.

SLATO LIMITE	T_R [anni]	a_g [g]	F_0 [-]	T_c^* [s]
SLO	30	0,043	2,527	0,265
SLD	50	0,052	2,552	0,281
SLV	475	0,104	2,729	0,349
SLC	975	0,128	2,722	0,367

Tabella 24. Valori di a_g , F_0 e T_c^* in funzione dei vari stati limite

1.2.3.2. Spettri di risposta

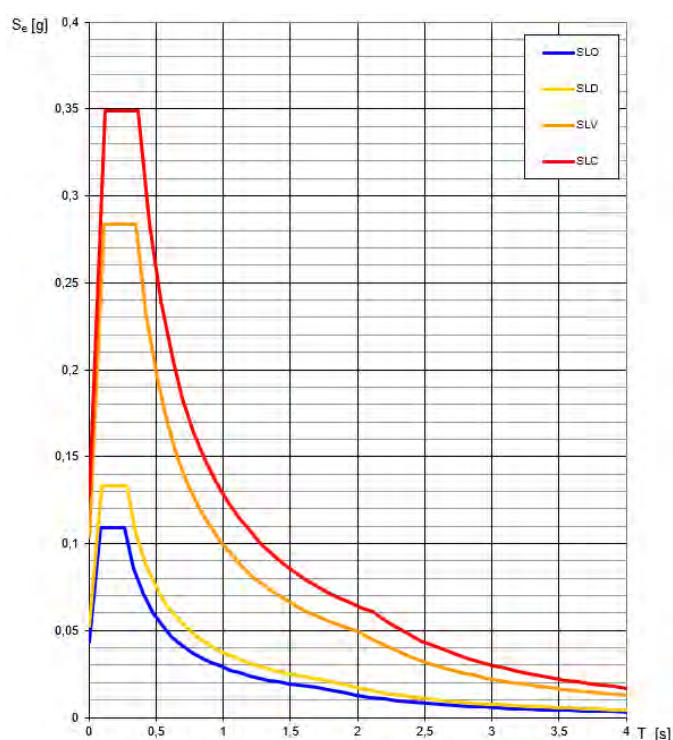


Figura 12. Spettri di risposta elastici per i diversi stati limite

Con l'utilizzo del fattore di comportamento e dei parametri sismici dipendenti dal tipo di struttura in esame, precedentemente calcolati, si sono determinati gli spettri di calcolo agli stati limite SLV e SLD. Nel caso di utilizzo di isolatori sismici si farà riferimento allo spettro ad SLV per la sovrastruttura e ad SLC per gli isolatori. Tali spettri saranno opportunamente scalati in funzione dello smorzamento e del periodo scelto.

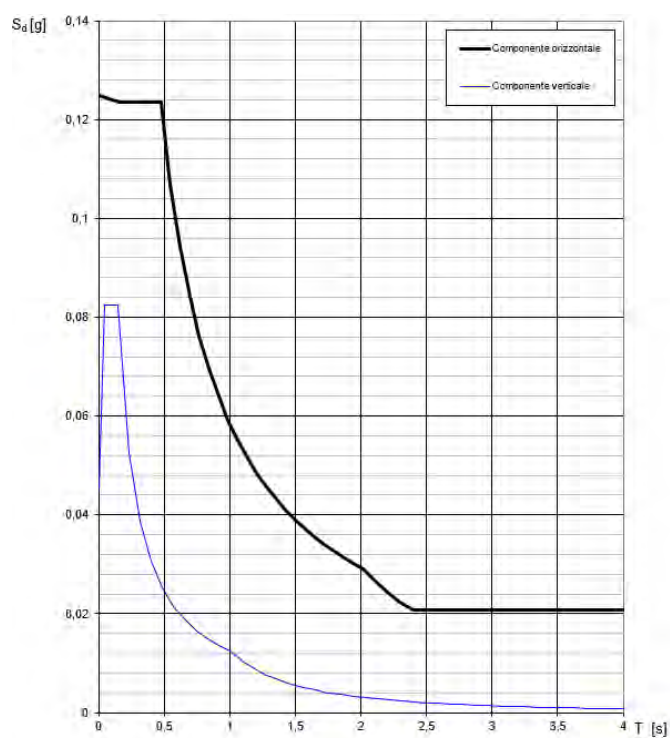


Figura 13. Spettri di risposta (componenti orizz._vert.) per lo SLV

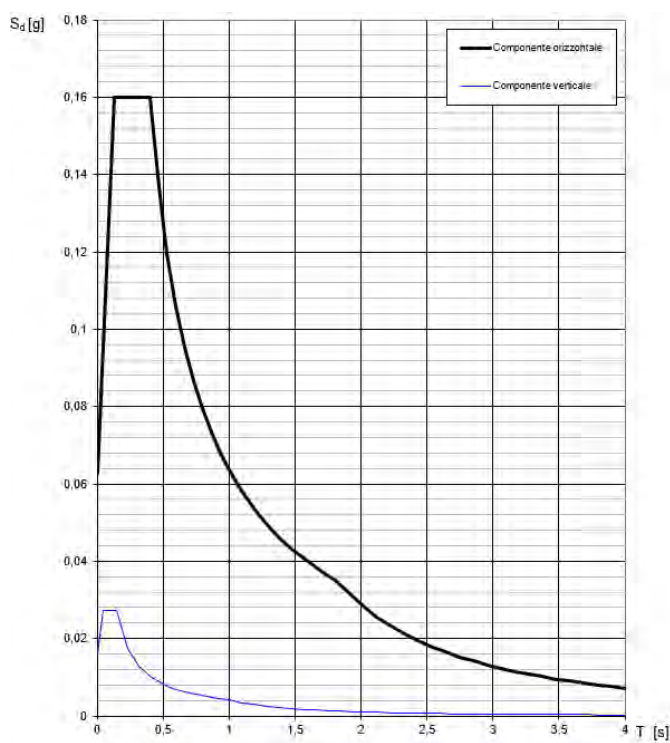


Figura 14. Spettri di risposta (componenti orizz._vert.) per lo SLD

1.2.4. Carichi di progetto

1.2.4.1. Carico della neve

Tale calcolo viene effettuato ai sensi di DM del 17 Gennaio 2018 "Norme tecniche per le costruzioni" e della Circolare Ministeriale Applicativa del 21 Gennaio 2019. Il carico neve sulle coperture è valutato con la seguente espressione:

$$q_s = \mu_i * q_{sk} * C_e *$$

dove:

- μ_i è il coefficiente di forma della copertura;

Coefficiente di forma	$0^\circ \leq \alpha \leq 30^\circ$	$30^\circ < \alpha < 60^\circ$	$\alpha \geq 60^\circ$
μ_i	0,8	$0,8 \cdot \frac{(60 - \alpha)}{30}$	0,0

Tabella 25. Tab. 3.4.II – Valori dei coefficienti di forma

- q_{sk} è il valore di riferimento del carico neve al suolo e dipende dalla zona climatica e dall'altitudine di riferimento del sito a_s , se è maggiore o inferiore a 200 m;



Figura 15. Zone di carico della neve

- C_e è il coefficiente di esposizione che viene utilizzato per modificare il carico neve in funzione delle caratteristiche dell'area in cui sorge l'opera;

Topografia	Descrizione	C_e
Battuta dai venti	Aree pianeggianti non ostruite esposte su tutti i lati, senza costruzioni o alberi più alti	0,9
Normale	Aree in cui non è presente una significativa rimozione di neve sulla costruzione prodotta dal vento, a causa del terreno, altre costruzioni o alberi	1,0
Riparata	Aree in cui la costruzione considerata è sensibilmente più bassa del circostante terreno o circondata da costruzioni o alberi più alti	1,1

Tabella 26. Tab. 3.4.I – Valori di C_z per diverse classi di esposizione

- C_t è il coefficiente termico, generalmente assunto pari a 1;

Si assume che la neve non sia impedita di scivolare e si calcola il valore del carico neve in copertura:

Zona	as (m)	qsk (daN/m ²)	μi	Ce	Ct	qs (daN/m ²)
III	505	107	0,8	1	1	86

Tabella 27. Determinazione del carico da neve in copertura

1.2.4.2. Carico del vento

La velocità base di riferimento del vento v_b è il valore medio su 10 minuti, a 10 m di altezza sul suolo su un terreno pianeggiante e omogeneo di categoria di esposizione II, riferito ad un periodo di ritorno $T_r = 50$ anni, ed è pari a:

$$v_b = v_{b0} * c_a$$

dove:

- v_{b0} è la velocità base di riferimento al livello del mare, assegnata nella Tab.3.3.I in funzione della zona in cui sorge la costruzione;
- c_a è il coefficiente di altitudine fornito dalla relazione

$$c_a = 1 \quad \text{per } a_s \leq a_0$$

$$c_a = 1 + k_s * (a_s/a_0 - 1) \quad \text{per } a_0 < a_s \leq 1500 \text{ m}$$

dove:

- a_0, k_s sono parametri forniti nella Tab.3.3.I in funzione della zona in cui sorge la costruzione;
- a_s è l'altitudine sul livello del mare del sito ove sorge la costruzione.

Zona	Descrizione	$v_{b,0}$ [m/s]	a_0 [m]	k_s
1	Valle d'Aosta, Piemonte, Lombardia, Trentino Alto Adige, Veneto, Friuli Venezia Giulia (con l'eccezione della provincia di Trieste)	25	1000	0,40
2	Emilia Romagna	25	750	0,45
3	Toscana, Marche, Umbria, Lazio, Abruzzo, Molise, Puglia, Campania, Basilicata, Calabria (esclusa la provincia di Reggio Calabria)	27	500	0,37
4	Sicilia e provincia di Reggio Calabria	28	500	0,36
5	Sardegna (zona a oriente della retta congiungente Capo Teulada con l'Isola di Maddalena)	28	750	0,40
6	Sardegna (zona a occidente della retta congiungente Capo Teulada con l'Isola di Maddalena)	28	500	0,36
7	Liguria	28	1000	0,54
8	Provincia di Trieste	30	1500	0,50
9	Isole (con l'eccezione di Sicilia e Sardegna) e mare aperto	31	500	0,32

Figura 16. Valori dei parametri v_{b0}, a_0, k_s



Figura 17. Mappa delle zone in cui è suddiviso il territorio italiano

La velocità di riferimento v_r è il valore medio su 10 minuti, a 10 m di altezza dal suolo su un terreno pianeggiante e omogeneo di categoria di esposizione II, riferito al periodo di ritorno di progetto T_r .

$$v_r = v_b * c_r$$

- v_b è la velocità base di riferimento al livello del mare, assegnata

- c_r è il coefficiente di ritorno, funzione del periodo di ritorno di progetto T_r fornito dalla relazione

$$c_r = 0.75 * \sqrt{1 - 0.2 * \ln[-\ln * (1 - 1/T_r)]}$$

Quindi:

v_{b0} (m/s)	a_s	c_a	v_b	T_r	c_r	v_r (m/s)
27	505	1.003	27.10	50	1,0007	27.12

La pressione del vento è data dall'espressione:

$$p = q_r * c_e * c_p * c_d$$

dove:

- q_r è la pressione cinetica di riferimento data dall'espressione

$$q_r = \frac{1}{2} * \rho * v_r^2 \quad \text{in cui } \rho \text{ è la densità dell'aria pari a } 1.25 \text{ kg/m}^3$$

- c_e è il coefficiente di esposizione che dipende dall'altezza z sul suolo del punto considerato, dalla topografia del terreno e dalla categoria di esposizione del sito ove sorge la costruzione. Per altezze sul suolo non maggiori di 200 m è dato dalla formula:

$$c_e(z) = k_r^2 * c_t * \ln(z/z_0) * [7 + c_t * \ln(z/z_0)] \quad \text{per } z \geq z_{min}$$

$$c_e(z) = c_e(z_{min}) \quad \text{per } z < z_{min}$$

dove:

- k_r , z_0 , z_{min} sono assegnati in Tab.3.3.II in funzione della categoria di esposizione del sito.
- c_t è il coefficiente di topografia, posto generalmente uguale a 1.

Categoria di esposizione del sito	k_r	z_0 [m]	z_{min} [m]
I	0,17	0,01	2
II	0,19	0,05	4
III	0,20	0,10	5
IV	0,22	0,30	8
V	0,23	0,70	12

Tabella 28. Parametri per la definizione del coefficiente di esposizione

Classe di rugosità del terreno	Descrizione
A	Aree urbane in cui almeno il 15% della superficie sia coperto da edifici la cui altezza media non superi i 15 m
B	Aree urbane (non di classe A), suburbane, industriali e boschive
C	Aree con ostacoli diffusi (alberi, case, muri, recinzioni...); aree con rugosità non riconducibile alle classi A, B, e D
D	a) Mare e relativa fascia costiera (entro 2 km dalla costa); b) Lago (con larghezza massima pari ad almeno 1 km) e relativa fascia costiera (entro 1 km dalla costa); c) Aree prive di ostacoli o con al più rari ostacoli isolati (aperta campagna, aeroporti, aree agricole, pascoli, zone paludose o sabbiose, superfici innevate o ghiacciate, ...)

Tabella 29. Classi di rugosità del terreno

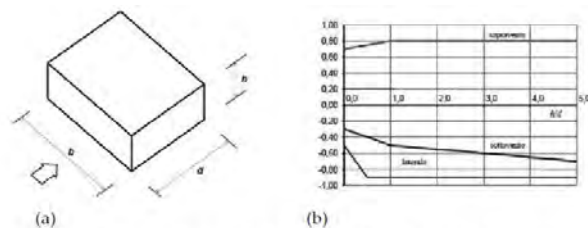
ZONE 1,2,3,4,5						
	2 km	10 km	30 km	500m	750m	
A	--	IV	IV	V	V	V
B	--	III	III	IV	IV	IV
C	--	*	III	III	IV	IV
D	I	II	II	II	III	**
* Categoria II in zona 1,2,3,4 Categoria III in zona 5						
** Categoria III in zona 2,3,4,5 Categoria IV in zona 1						

Tabella 30. Definizione delle categorie di esposizione

q_r	Rugosità	Esposizione	$c_e(z)$	$c_e(z_{min})$
456	B	IV	1,975	1,634

Tabella 31. Definizione dei coefficienti di esposizione

● c_p è il coefficiente di pressione e dipende dalla tipologia, dalla geometria della costruzione e dal suo orientamento rispetto alla direzione del vento. Il coefficiente globale c_{pe} che può essere utilizzato in tutti i casi in cui la rappresentazione delle azioni aereodinamiche del vento possa essere effettuata in maniera semplificata, rivolta alla valutazione delle azioni globali su porzioni estese di costruzioni o delle risultanti delle azioni indotte dal vento sugli elementi principali della struttura. I coefficienti c_{pe} da assumere sulle pareti dell'edificio a pianta rettangolare sono diagrammati in base al rapporto h/d , avendo indicato con h l'altezza del manufatto e con d la profondità dell'edificio, valutata parallelamente al flusso di lavoro:



a) Parametri caratteristici di edifici a pianta rettangolare,
b) Edifici a pianta rettangolare: c_{pe} per facce sopravvento, sottovento e laterali

Figura C3.3.2

Tabella C3.3.I. Edifici a pianta rettangolare: c_{pe} per facce sopravvento, sottovento e laterali

Faccia sopravvento	$C_U = 2,0$	$C_U = 1,5$
$h/d \leq 1$: $c_{pe} = 0,7 + 0,1 \cdot h/d$	$h/d \leq 0,5$: $c_{pe} = -0,5 - 0,8 \cdot h/d$	$h/d \leq 1$: $c_{pe} = -0,3 - 0,2 \cdot h/d$
$h/d > 1$: $c_{pe} = 0,8$	$h/d > 0,5$: $c_{pe} = -0,9$	$1 < h/d \leq 5$: $c_{pe} = -0,5 - 0,05 \cdot (h/d - 1)$

Tabella 32. Coefficienti di pressione delle facciate secondo NTC2018

Quindi i coefficienti per le facce sopravvento e sottovento sono:

b	d	h	h/d	C_{pe} -sopravvento	C_{pe} -sottovento
34	16.7	13.2	0.91	0.79	-0,49

Tabella 33. Definizione dei coefficienti di pressione

COPERTURA A DOPPIA FALDA

Per le coperture a doppia falda, i coefficienti globali da assumere, nel caso di vento perpendicolare alla direzione del colmo, sono quelli per le coperture a falda singola.

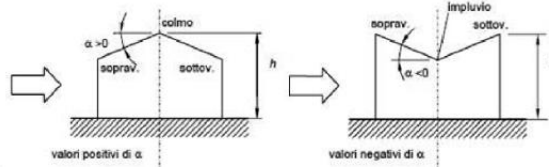


Figura 18. Schema di riferimento per coperture a doppia falda

Valori negativi		Valori positivi	
$\alpha \leq -60^\circ$	$c_{pe} = -0,5$	$0^\circ \leq \alpha \leq 45^\circ$	$c_{pe} = +\alpha/75$
$-60^\circ \leq \alpha \leq -15^\circ$	$c_{pe} = -0,5 - (\alpha+60)/90$	$45^\circ \leq \alpha \leq 75^\circ$	$c_{pe} = +0,6 + (\alpha-45)/150$
$-15^\circ \leq \alpha \leq 30^\circ$	$c_{pe} = -1,0 + (\alpha+15)/75$		
$30^\circ \leq \alpha \leq 45^\circ$	$c_{pe} = -0,4 + (\alpha-30)/37,5$		

Tabella 34. Coperture a doppia falda, valori del c_{pe} con vento perpendicolare al colmo

Per la falda sottovento si fa riferimento ai valori riportati di seguito:

$-75^\circ \leq \alpha \leq -15^\circ$	$c_{pe} = -0,85 + (\alpha+60)/180$
$-15^\circ \leq \alpha \leq 15^\circ$	$c_{pe} = -0,6$
$15^\circ \leq \alpha \leq 45^\circ$	$c_{pe} = -0,6 + (\alpha-15)/100$
$45^\circ \leq \alpha$	$c_{pe} = -0,3$

Tabella 35. Coperture a doppia falda, valori del c_{pe} con vento perpendicolare al colmo

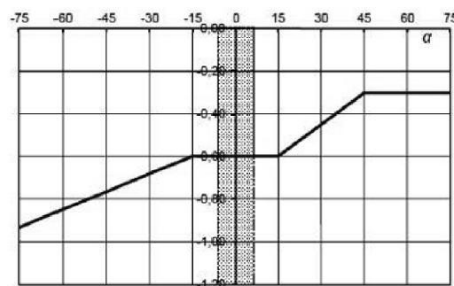


Tabella 36. Coperture a doppia falda, grafico del c_{pe} con vento perpendicolare al colmo

Le pressioni interne agli edifici dipendono dalla superficie delle aperture che questi presentano verso l'esterno. Nel caso in esame si assumono valori del coefficiente di pressione interno pari a $c_{pi} = +0,2$ e $c_{pi} = -0,30$, considerando il caso che di volta in volta conduce alla situazione maggiormente gravosa.

- c_d è il coefficiente dinamico e può essere assunto cautelativamente pari a 1 nelle costruzioni di tipologia ricorrente quali gli edifici di forma regolare non eccedenti 80 m in altezza e capannoni industriali.

In funzione dei coefficienti analizzati e della pressione cinetica di riferimento, si calcola la pressione del vento per la copertura e per le facciate sopravento e sottovento considerando i valori massimi e minimi.

Facciata	Sopravento	Sottovento
p_{\min} (daN/m ²)	451	-593
p_{\max} (daN/m ²)	545	-717
Copertura	Sopravento	Sottovento
p (daN/m ²)	-636	-636

1.2.5. Interventi per il miglioramento sismico – edifici in cemento armato

Gli interventi previsti per la riduzione del rischio sismico si dividono in:

- interventi che consentono il passaggio di una sola Classe di Rischio;
- interventi che possono consentire il passaggio fino a due Classi di Rischio.
- interventi che possono consentire il miglioramento di almeno due Classi di Rischio o l'adeguamento sismico.

La prima tipologia di interventi considerati è quella contenuta nelle “Linee guida per la classificazione del rischio sismico delle costruzioni” (D.M. 65/2017-allegato A). Per gli edifici in cemento armato, se la struttura è stata originariamente concepita con la presenza di telai in entrambe le direzioni, è prevista la possibilità di ritenere valido il passaggio alla Classe di Rischio immediatamente superiore se vengono effettuati gli interventi seguenti:

- incamiciatura dei pilastri e dei nodi pilastro-trave per tutte le pilastrate e le travi disposte lungo il perimetro dell'edificio;
- opere volte a scongiurare il ribaltamento delle tamponature, compiute su tutte le tamponature perimetrali presenti sulle facciate;
- eventuali opere di ripristino delle zone danneggiate e/o degradate.

La seconda tipologia di interventi considerati riguarda l'utilizzo di:

- isolamento sismico in fondazione.

Questa tipologia di interventi, viene presa in considerazione nel caso in cui le lavorazioni vengono eseguite senza dover in alcun modo evacuare gli inquilini dell'edificio, quindi quando per esempio:

- è presente un piano interrato dove sono presenti garage;
- è presente un piano terra dove sono presenti negozi;
- è presente un piano pilotis dove sono presenti cantine.

Nel caso si adotti l'intervento di isolamento sismico in fondazione bisogna fare una differenza in funzione della presenza o meno di un piano interrato.

Nel caso in cui **fosse presente il piano interrato** (adibito a garage o cantine), l'intervento di isolamento sismico alla base prevede di tagliare il pilastro del piano interrato all'altezza delle travi del piano terra inserendo l'isolatore sismico opportunamente dimensionato e ringrossando ove necessario il nodo trave pilastro. Risulta inoltre indispensabile creare una trincea perimetrale esterna che consenta all'edificio gli spostamenti generati dall'azione sismica.

Nel caso in cui **non fosse presente un piano interrato**, ma ad esempio un piano pilotis con cantine, l'intervento prevede di creare un piano di scorrimento che può essere realizzato in funzione delle opportunità e delle esigenze o all'attacco tra fondazione e pilastri oppure direttamente sopra la soletta del piano terra. Il piano di scorrimento viene creato attraverso un reticolo di travi in acciaio collegate ad ogni pilastro sopra le quali viene posata una lamiera grecata con successivo

getto di soletta armata con rete. La soluzione ad unico piano di scorrimento anche per edifici estesi con giunti sismici risulta essere ampiamente perseguibile.

Sotto ogni pilastro e sotto il piano di scorrimento viene predisposto un opportuno isolatore sismico (ad esempio friction pendulum). Anche in questo caso come nel precedente risulta indispensabile creare una trincea perimetrale che possa garantire gli spostamenti attesi dovuti all'azione sismica.

In tutti i casi citati, si tratta di interventi la cui progettazione richiede informazioni dettagliate sulla geometria e sulle caratteristiche meccaniche degli elementi resistenti allo stato attuale e la cui efficacia può essere valutata solo con analisi strutturali condotte per mezzo di adeguati modelli di calcolo. In questa fase ci si limiterà, pertanto, ad una descrizione sommaria degli interventi e ad una valutazione di massima del costo.

La terza tipologia di interventi considerati riguarda l'utilizzo di:

- cappotto sismico applicato alle pareti esterne dell'edificio;
- sistema a torri dissipative sismo-resistenti.

Questa tipologia di interventi, viene presa in considerazione nel caso in cui le lavorazioni vengono eseguite senza dover in alcun modo evacuare gli inquilini dell'edificio, e nel caso del cappotto sismico quando la struttura risulta regolare in pianta e in altezza.

Il primo caso può essere applicato indifferentemente sia per strutture in muratura che per le strutture in cemento armato. Il secondo caso invece viene impiegato esclusivamente quando la struttura esistente sia stata realizzata in cemento armato.

Per gli edifici in cemento armato, nel caso di struttura a telai in entrambe le direzioni, è prevista la possibilità di ritenere valido il passaggio di più Classi di Rischio con la possibilità di raggiungere l'adeguamento sismico a seconda della tipologia di struttura.

1.2.5.1. Sintesi degli interventi previsti

TORRI DISSIPATIVE SISMO-RESISTENTI

Il sistema a torri dissipative sismo-resistenti consiste nella realizzazione di torri molto rigide, solitamente in carpenteria metallica, collegate rigidamente alla struttura a livello di solaio ed incernierate alla base, equipaggiate lungo il perimetro della base con dissipatori di energia che si attivano a seguito della rotazione della torre indotta dagli spostamenti orizzontali della struttura. Tale sistema è nato proprio per rispondere alle esigenze di adeguare complessi edilizi di pubblica, eliminando i costi ed i disagi connessi all'interruzione ed al trasferimento delle attività in altre sedi, richiesti dai tradizionali sistemi di adeguamento sismico. La volumetria delle torri va inoltre ad aggiungersi a quella esistente e, quando possibile, può essere sfruttata per la realizzazione di scale, ascensori, cavedi per il passaggio degli impianti o nuovi spazi utilizzabili, consentendo la rivalutazione del patrimonio. Il sistema a torri dissipative consente di sfruttare al massimo la

capacità dei dispositivi di dissipazione; infatti grazie alla loro collocazione alla base delle torri, i dissipatori non lavorano in funzione degli spostamenti relativi d'interpiano, come in un classico sistema a controventi dissipativi posti all'interno delle maglie dei telai, bensì in funzione dello spostamento assoluto che si manifesta all'ultima elevazione

L'efficienza del sistema proposto è garantita non solo dalla rigidezza delle torri, ma anche dal manovellismo utilizzato alla base delle torri per il collegamento delle stesse ai dissipatori.

Il sistema meccanico di manovellismo introdotto alla base di ogni torre ha la funzione di amplificare gli spostamenti, così da ottenere un miglioramento generalizzato dell'efficienza dell'intervento con torri dissipative. A parità di spostamento in sommità, con il sistema di manovellismo si ottiene uno spostamento sul dispositivo di gran lunga superiore a quello ottenuto in assenza di manovellismo. I dispositivi sono attivi sia a trazione che a compressione.

L'efficacia dell'intervento è garantita dalla notevole dissipazione di energia fornita dalle nuove torri dissipative a cui consegue una sensibile riduzione della domanda negli elementi strutturali.

L'organizzazione planimetrica dei dispositivi è studiata in modo da garantire la massima efficienza al sistema. Per ottenere il massimo valore di spostamento i dissipatori vengono disposti in senso radiale sul perimetro esterno della torre, in modo da risultare efficaci per ogni movimento oscillatorio della torre. Il ricentrimento del sistema torre-edificio è garantito dalla forza di richiamo che l'edificio esistente può trasmettere grazie all'energia potenziale elastica immagazzinata.

L'applicazione del sistema a torri dissipative sismo-resistenti presenta numerosi vantaggi rispetto alle tecniche convenzionali di adeguamento sismico, quali:

- incremento sostanziale della capacità delle strutture esistenti nei confronti delle azioni sismiche, che si traduce in un notevole abbattimento sia degli spostamenti che delle accelerazioni, preservando così non solo la struttura, ma anche i componenti non strutturali (murature, infissi, controsoffitti, impianti, ecc..) e le attrezzature, sensibili sia agli spostamenti che alle accelerazioni;
- contenimento degli spostamenti orizzontali fino a pervenire a soluzioni strutturali in grado di fronteggiare i terremoti previsti dalle norme allo stato limite di salvaguardia della vita (SLV) mantenendo la struttura in campo elastico e quindi senza importanti danneggiamenti ed interruzioni d'uso;
- la disposizione ottimale delle torri in pianta consente di regolarizzare il comportamento delle strutture in situazione sismica;
- la creazione alla base di ciascuna torre, di una zona completamente dedicata alla dissipazione di energia, permette di massimizzare l'efficienza dei dispositivi (nello specifico di tipo viscoso), nonché la loro facile ispezione e manutenzione, rispetto alle consuete applicazioni all'interno delle maglie strutturali di edifici esistenti;

- la piena rispondenza ai criteri di reversibilità dell'intervento, poiché intervenendo in esterno è possibile rimuovere le torri senza interferire con le strutture esistenti.

1.2.6. Conclusioni

L'applicazione del sistema innovativo di protezione sismica detto a "Torri Dissipative" dimostra di essere una valida e conveniente alternativa ai sistemi più tradizionali che sfruttano la dissipazione di energia per la riduzione della domanda. È particolarmente conveniente in quegli edifici con struttura a telaio in c.a. dotati di una sufficiente capacità statica per carichi verticali ma vulnerabili alle azioni orizzontali e che, trovandosi in buone condizioni di agibilità, non necessitano di pesanti interventi di rifunzionalizzazione ed ammodernamento. L'efficienza del sistema è notevole. Ottenendo riduzioni significative della domanda, la calibrazione dimensionale e dissipativa delle torri è tale da raggiungere livelli di protezione sismica superiori ai limiti stabiliti dalle norme per l'adeguamento, con l'obiettivo di mantenere la struttura in campo elastico anche per terremoti severi allo SLV.

Inoltre, molto importante, è il notevole vantaggio economico. Oltre ai minori costi diretti, operando dall'esterno sono quasi o completamente nulli i costi indiretti, l'esecuzione dei lavori avviene senza l'interruzione delle attività.

2. INTERVENTI DI EFFICIENTAMENTO ENERGETICO

Premesso quanto riportato nella relazione tecnica di inquadramento generale, nella quale sono riportati:

- indagini e sopralluoghi;
- riferimenti normativi;
- tipologia di interventi da eseguire;
- individuazione degli elementi costitutivi i fabbricati oggetto di intervento;
- criteri di calcolo impiegati;
- indici di prestazione energetica da rispettare;
- soluzioni tecnologiche relative agli interventi da eseguire;

si riportano di seguito le valutazioni relative al singolo Comune di Carpineto Romano

2.1. Inquadramento

Di seguito vengono riportati i dati climatici e le tipologie di edifici relativi all'area di intervento.

2.1.1. Dati climatici

I dati climatici desunti dalla normativa tecnica UNI 10349 sono i seguenti:

COMUNE	CARPINETO ROMANO
PROVINCIA	ROMA
REGIONE	LAZIO
ZONA CLIMATICA	D
GG	2063
PERIODO RISCALDAMENTO	12 ore giornaliere: 1 NOV- 15 APR

Tabella 37. Dati climatici comunali

2.2. Tipologia edifici


Di seguito si riporta la tabella riepilogativa che raggruppa tutte le tipologie edilizie individuate.


CITTA'	TIPOLOGIA	INDIRIZZO
CARPINETO ROMANO	CR01	VIA PRIMA TRAVERSA ANNUNZIATA NUOVA 14-16-18-20-22-24
CARPINETO ROMANO	CR02	VIA PRIMA TRAVERSA ANNUNZIATA NUOVA 26-28

Tabella 38. Tipologie edilizie analizzate

2.2.1. Classificazione per tipologie edilizie affini

Di seguito si riportano le tabelle relative ad ogni tipologia di edificio individuata:

TIPOLOGIA CR01	
Ubicazione	Carpineto Romano (RM), via Prima Traversa Annunziata Nuova, 14-24
	
Anno di costruzione	1987
Struttura portante	Telaio C.A.
Numero di piani	3
Superficie netta totale	2714
Unità immobiliari	43
Numero di scale	6
Tipologia di riscaldamento	Centralizzato
Tamponature	MCV01
Solaio di copertura	COP03
Solaio primo impalcato	SOL08
Serramenti	Infissi in legno e vetro singolo
TIPOLOGIA CR02	

Ubicazione	Carpineto Romano (RM), via Prima Traversa Annunziata Nuova, 26
	
Anno di costruzione	1987
Struttura portante	Telaio C.A.
Numero di piani	3
Superficie netta totale	679
Unità immobiliari	10
Numero di scale	2
Tipologia di riscaldamento	Centralizzato
Tamponature	MCV01
Solaio di copertura	COP03
Solaio primo impalcato	SOL08
Serramenti	Infissi in legno e vetro singolo

2.3. Interventi di efficientamento energetico

In seguito ai dati raccolti sui singoli edifici ed in riferimento alle considerazioni fatte nella relazione tecnica generale, si procederà a migliorare le prestazioni termiche passivamente, andando a limitare

le dispersioni termiche dell'involucro edilizio, e attivamente con interventi sulla generazione e distribuzione dei fluidi termovettori.

2.3.1. Interventi passivi: involucro edilizio

Gli interventi sull'involucro edilizio riguardano:

1 Applicazione di isolante termico sulle superfici verticali.

Tramite questa soluzione costruttiva, che aggiunge alle tamponature esistenti uno strato di isolante termico, si garantiscono migliori prestazioni termiche delle superfici opache verticali. Infatti, applicando uno strato di isolante, omogeneo e continuo, con bassi valori di conducibilità termica si ottiene una riduzione della trasmittanza delle superfici trattate, oltre alla sostanziale eliminazione dei ponti termici su queste presenti.

2 Rifacimento della copertura.

Con il rifacimento della copertura si completa il miglioramento delle prestazioni energetiche delle superfici opache. Questo intervento fornisce alle strutture di copertura uno strato isolante che, come a quello applicato sulle strutture verticali, limita le dispersioni e corregge i ponti termici esistenti. Gli interventi sulle superfici verticali e in copertura andranno così a costituire un cappotto termico in grado di abbattere le dispersioni termiche dell'involucro con una conseguente diminuzione di energia da fornire al fabbricato.

3 Sostituzione degli infissi

Contestualmente all'isolamento delle strutture opache si prevede la sostituzione degli infissi esistenti con elementi nuovi e notevolmente più prestanti dal punto di vista termico.

I nuovi infissi saranno forniti di telaio a taglio termico e doppio vetro.

Questi permettono di ridurre le dispersioni delle unità immobiliari poiché aventi una trasmittanza globale dell'elemento di molto inferiore agli elementi esistenti.

In aggiunta alla sostituzione degli elementi trasparenti si prevede l'isolamento o la sostituzione del cassonetto soprafinestra, qualora presenti, in modo da eliminare infiltrazioni d'aria esterna e dispersioni di calore.

Per ulteriori caratteristiche tecniche degli isolanti e degli infissi si rimanda ai contenuti della relazione tecnica generale.

2.3.2. Interventi attivi: impianti di riscaldamento

In base ai dati raccolti per i singoli edifici, relativamente agli impianti esistenti, ed in riferimento alle considerazioni svolte nella relazione generale, circa i requisiti per accedere all'Ecobonus, si

prevede la realizzazione di nuove centrali termiche costituite da caldaie a condensazione in classe A e pannelli solari termici, per la produzione di fluidi termovettori e di acqua calda sanitaria,

Gli interventi proposti mirano anche all'accorpamento delle centrali termiche di più edifici quando questo risulti possibile ed economicamente vantaggioso.

In presenza di più edifici limitrofi oggetto di intervento, questi sono associati ad un'unica centrale termica preposta alla produzione totale di calore da questi richiesto. La centrale viene posizionata in spazi prossimi agli edifici e comunque in aree pertinenziali degli stessi.

Tramite un sistema distributivo interrato l'acqua calda prodotta in centrale termica raggiunge ogni singolo edificio in una sottocentrale termica. Al suo interno, tramite uno scambiatore di calore, vengono ripartite le potenze termiche spettanti a ogni edificio o a porzioni di questo.

All'interno della sottocentrale termica di edificio trovano spazio tutti gli elementi preposti sia alla produzione di accumuli di acqua calda sanitaria sia alla distribuzione dei fluidi.

Infine, tramite un sistema distributivo esterno all'edificio, vengono raggiunti i punti di allaccio al sistema di tubazioni esistenti di ogni unità immobiliare. Prima dell'ingresso delle tubazioni all'interno dei singoli appartamenti, viene installato un terminale di contabilizzazione dei consumi per il riscaldamento e acqua calda sanitaria, in modo da poter ripartire i costi su ogni unità immobiliare in aderenza alla norma, UNI 10200.

Nel caso in cui l'edificio oggetto di intervento non sia inserito in un sistema più ampio che coinvolga una pluralità di stabili, la generazione dei fluidi si svolge internamente alla sottocentrale sopra descritta, mantenendo invariato il sistema di distribuzione e contabilizzazione dei vettori energetici

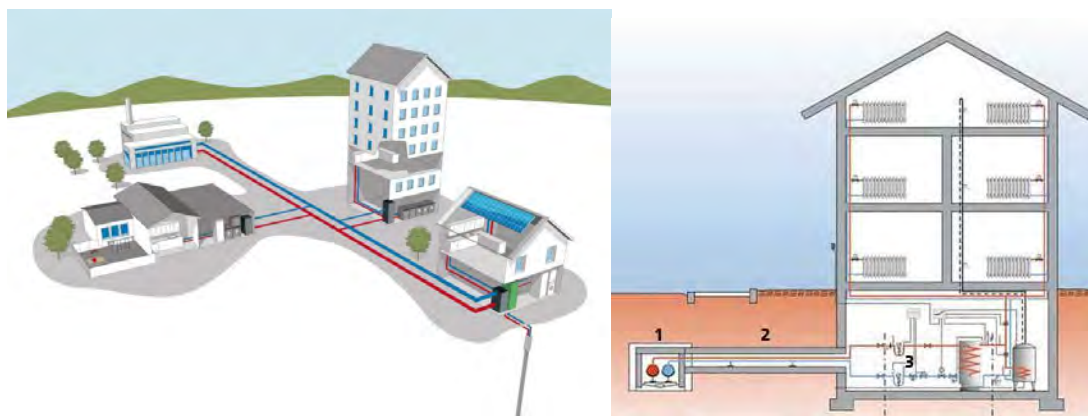


Figura 19. Schema esplicativo impianto termico

Di seguito è riportata una tabella riassuntiva, contenente i principali dati relativi alle centrali che vengono realizzate nel presente Comune.

INDIRIZZO	ALLOGGI [n°]	SUP Totale [m²]	Centrale Termica	Area riscaldata CT [m²]	Dispersioni [W/mq]	Potenza per riscaldamento [kW]	Potenza Totale per riscaldamento [kW]	Volume ACS [l]	Potenza ACS [kW]	Potenza Totale ACS [kW]	Pot. Totale generatore [kW]	Pot. di picco fotovoltaico [kWp]
VIA PT ANNUNZIATA NUOVA 14/24	43	2714	CR1-CR2	3093	38	103,1	116	3000	83	106	222	65,7
VIA PT ANNUNZIATA NUOVA 26/28	10	379			35	13,3		850	23			19,7

Tabella 39. Riepilogo potenze termiche di progetto

Nella tabella sopra riportata sono contenute le informazioni relative a:

- tipologia immobile;
- numero totale alloggi per tipologia;
- superficie coperta abitabile netta complessiva;
- eventuale raggruppamento della centrale termica;
- totale superficie coperta abitabile servita dalla singola centrale;
- potenza riscaldamento;
- potenza acqua calda sanitaria;
- volume di accumulo per acqua calda sanitaria
- potenza totale acqua calda sanitaria

potenza totale acqua calda sanitaria e riscaldamento

All'interno della tabella soprastante sono state evidenziate le tipologie di edifici e le nuove centrali termiche ad essi associate. Si evince che gli edifici serviti da un'unica centrale termica sono quelli relative alle tipologie CR01-CR02



Figura 20. Edifici serviti dalla centrale termica CR01-CR02

Legenda

- area di pertinenza della centrale termica
- installazione pannelli solari
- installazione pannelli fotovoltaici